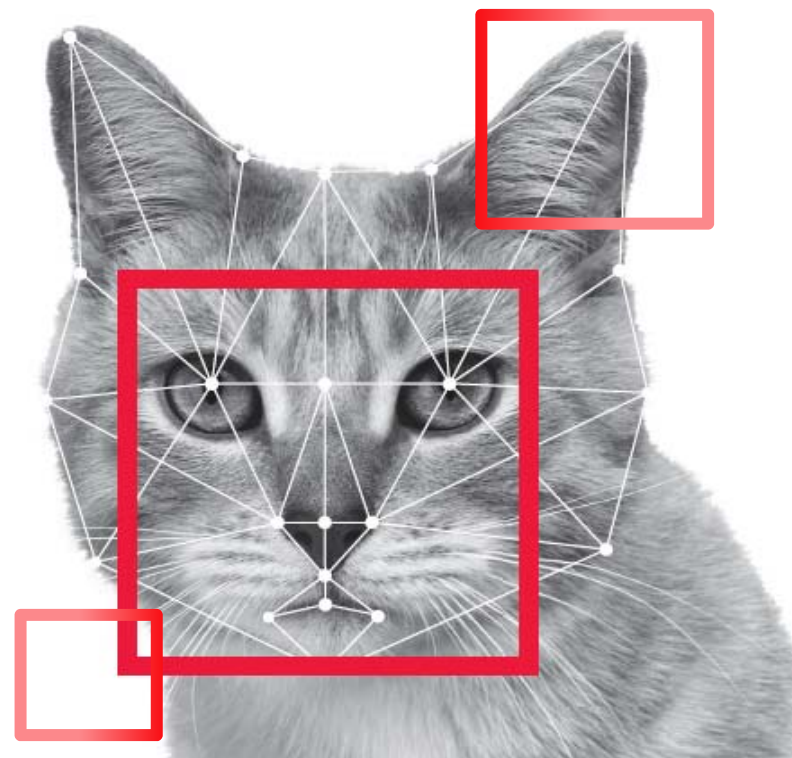


COMPUTER VISION 컴퓨터 비전

기본 개념부터 최신 모바일 응용 예까지



5장. 영상 분할

PREVIEW

■ 사람 뇌의 영상 분할



그림 5-1 맨 왼쪽 영상을 보고 장면을 서술해 보자.

- “상자 위에 쌓여있는形形色색의 파프리카”라고 해석하는 과정에서 상자, 파프리카, 가격표, 글자와 같이 의미 있는 영역으로 분할
- 분할과 인식이 동시에 일어남

■ 컴퓨터 비전

- 현재는 분할 후 인식하는 순차 처리(동시 수행을 추구하는 연구도 있으나 초보 단계)
- 가장 어려운 문제 중 하나

각 절에서 다루는 내용

1. 영상 분할의 원리

→ 영상에서 영역을 분할하는 기본 원리를 먼저 살펴본다.

2. 전통적 방법

→ 초창기 주류 알고리즘을 소개한다. 주로 간단한 규칙을 사용하는 알고리즘이다.

3. 그래프 방법

→ 그래프 알고리즘과 같이 현재 널리 활용되는 전역 최적화에 기반을 둔 접근 방법을 살펴본다.

4. 민시프트

→ 민시프트를 이용한 영역 분할 원리를 알아본다.

5. 워터세드

→ 워터세드를 이용한 영역 분할 원리를 알아본다.

6. 대화식 물체 분할

→ 사용자가 대화식으로 관심있는 물체를 분할하는 기능을 구현하는 방법을 공부한다.

7. 알고리즘 선택

→ 지금까지 다룬 알고리즘을 평가하고 상황에 맞는 알고리즘을 알아내는 데 쓸 수 있는 데이터베이스들을 살펴본다.

5.1 영상 분할의 원리

■ 분할의 정의

- 식 (5.1)은 엄밀성보다는 개념적인 정의

$$\begin{aligned}r_i \cap r_j &= \emptyset, \quad 1 \leq i, j \leq n, i \neq j \\ \bigcup_{i=1,n} r_i &= f \\ Q(r_i) &= \text{참}, \quad 1 \leq i \leq n \\ Q(r_i \cup r_j) &= \text{거짓}, \quad 1 \leq i, j \leq n, r_i \text{와 } r_j \text{는 이웃한 영역}\end{aligned} \tag{5.1}$$

Q: 영역의 균일성을 측정하는 어떤 기준

■ 생각해 볼 점

- 적절한 분할이란?
 - 저분할과 과분할
- 사람 vs. 컴퓨터
 - 사람은 선택적 주의집중과 능동 비전 기능을 가지며, 분할 과정에서 고급 지식 사용
 - 물체 모델, 지식, 의도 등
 - 컴퓨터 비전은 그런 수준에 이르지 못함
 - 분할이 끝나야만 고급 지식을 이용하여 인식을 수행

5.1 영상 분할의 원리

■ 분할의 어려움

- 이웃 화소 몇 개를 보고 자신이 영역의 내부인지 경계인지 판단할 수 있을까?
→ 전역 연산 필요성

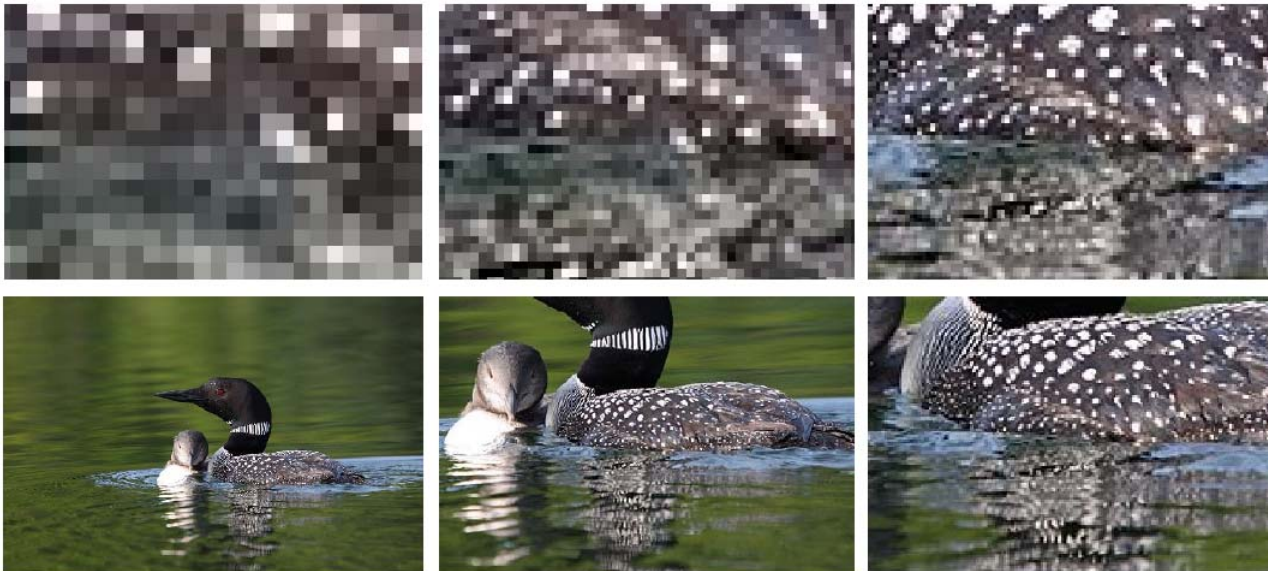


그림 5-2 영상 분할의 근원적인 어려움

5.1 영상 분할의 원리

■ 에지(3장) vs. 영역

- 개념적으로 에지는 영역의 경계에 해당
- 하지만 에지 검출로는 한계
 - 거짓 긍정, 거짓 부정 → 폐곡선을 이루지 못함

■ 영역 vs. 지역 특징(4장)

- 사람은 지역 특징보다 영역 분할에 훨씬 뛰어남
- 반면 컴퓨터 비전은 영역보다 지역 특징으로 문제 해결하는 사례 많음
- 미래는?

5.2 전통적 방법

■ 동작 조건

- 특수 조건 만족하거나 단순한 영상에서만 작동
 - 예) 공장 자동화, 문서 인식 등
 - 문제가 쉽다면 굳이 복잡한 알고리즘 쓸 필요 없음
- 자연 영상에서 매우 낮은 성능

5.2.1 임계화를 이용한 영역 분할

5.2.2 군집화를 이용한 영역 분할

5.2.3 분할합병

5.2.1 임계화를 이용한 영역 분할

■ 이진화를 이용한 영역 분할

- 문서 영상의 경우 오츠크 이진화(2.3.1절)는 훌륭한 영상 분할 알고리즘
- 하지만 명암 단계가 둘 이상인 경우는 오작동

■ 삼진화로 확장

- 이중 임계값 사용

μ_g : 히스토그램의 전체 평균

$$v_{between}(t_1, t_2) = w_0(\mu_0 - \mu_g)^2 + w_1(\mu_1 - \mu_g)^2 + w_2(\mu_2 - \mu_g)^2$$

이때, $\mu_0 = \frac{1}{w_0} \sum_{i=0}^{t_1} i\hat{h}_i$, $\mu_1 = \frac{1}{w_1} \sum_{i=t_1+1}^{t_2} i\hat{h}_i$, $\mu_2 = \frac{1}{w_2} \sum_{i=t_2+1}^{L-1} i\hat{h}_i$

$$w_0 = \sum_{i=0}^{t_1} \hat{h}_i, \quad w_1 = \sum_{i=t_1+1}^{t_2} \hat{h}_i, \quad w_2 = \sum_{i=t_2+1}^{L-1} \hat{h}_i$$

부류의 평균값들에 대한 분산으로
세 평균이 다를수록 좋음

(5.2)

$$(\dot{t}_1, \dot{t}_2) = \underset{0 < t_1 < t_2 < L-1}{\operatorname{argmax}} v_{between}(t_1, t_2) \quad (5.3)$$

5.2.1 임계화를 이용한 영역 분할

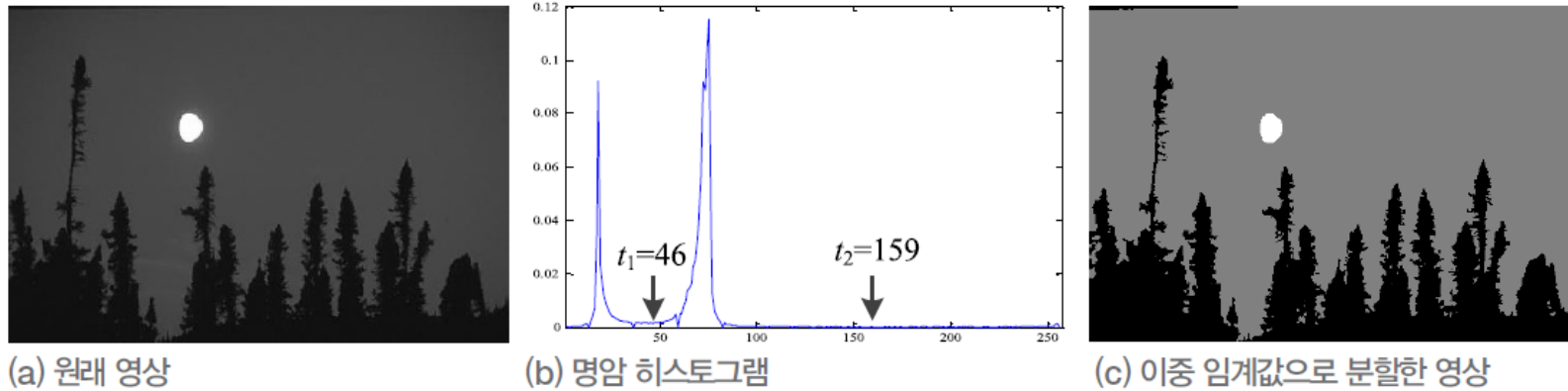


그림 5-3 이중 임계값 오츠크 알고리즘에 의한 영상 분할

알고리즘 5-1 이중 임계값 오츠크 알고리즘

입력 : 영상 $f(j, i)$, $0 \leq j \leq M-1$, $0 \leq i \leq N-1$

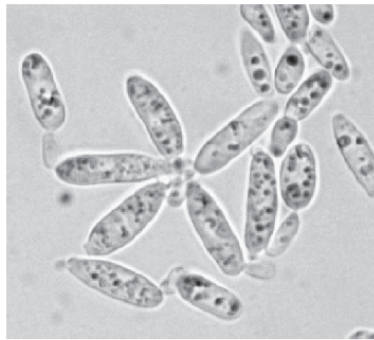
출력 : 삼진영상 $g(j, i)$, $0 \leq j \leq M-1$, $0 \leq i \leq N-1$ // 0, 1, 2 세 가지 값을 가진 영상

- 1 [알고리즘 2-1]을 이용하여 f 의 정규 히스토그램 h 을 만든다.
- 2 for($t_1=1$ to $L-3$)
- 3 for($t_2=t_1+1$ to $L-2$)
- 4 식 (5.2)를 이용하여 $v_{between}(t_1, t_2)$ 를 계산한다.
- 5 2~4행에서 가장 큰 $v_{between}$ 을 생성한 (t_1, t_2) 를 임계값 (\hat{t}_1, \hat{t}_2) 로 취한다.
- 6 (\hat{t}_1, \hat{t}_2) 로 f 를 삼진화하여 g 를 만든다.

5.2.1 임계화를 이용한 영역 분할

■ 적응적 임계화

- 하나 또는 두 개의 임계값을 영상 전체에 적용하는 전역 방법의 한계
 - 지역적으로 명암 분포가 다른 경우 낮은 분할 품질



(a) 원래 영상



(b) [알고리즘 2-4]를 적용한 결과



(c) [알고리즘 5-1]을 적용한 결과

그림 5-4 효모 영상과 임계화한 영상

- 적응적 임계화로 해결: 지역에 따라 적응적으로 임계값 결정
 - $t(j,i)$ 를 어떻게 결정할까?

$$b(j,i) = \begin{cases} 1, & f(j,i) \geq t(j,i) \\ 0, & \text{그렇지 않으면} \end{cases}$$

$t(j,i)$: (j, i) 위치 이웃 값을 보고 결정
(ex.) 평균 & 표준편차 이용
(5.4)

5.2.2 군집화를 이용한 영역 분할

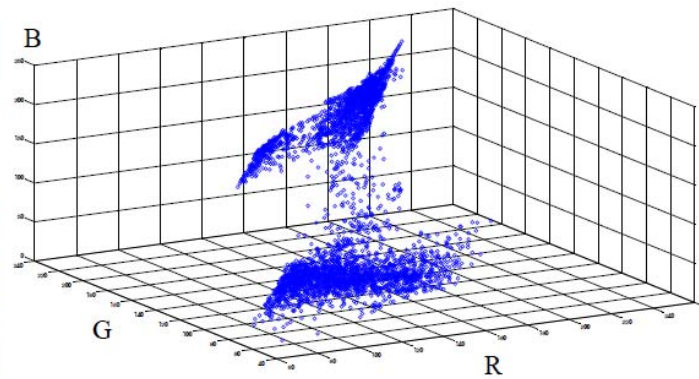
■ 군집화

- 화소를 RGB 3차원 컬러 공간으로 매핑 한후, k-means 로 군집화



(a) 원래 영상

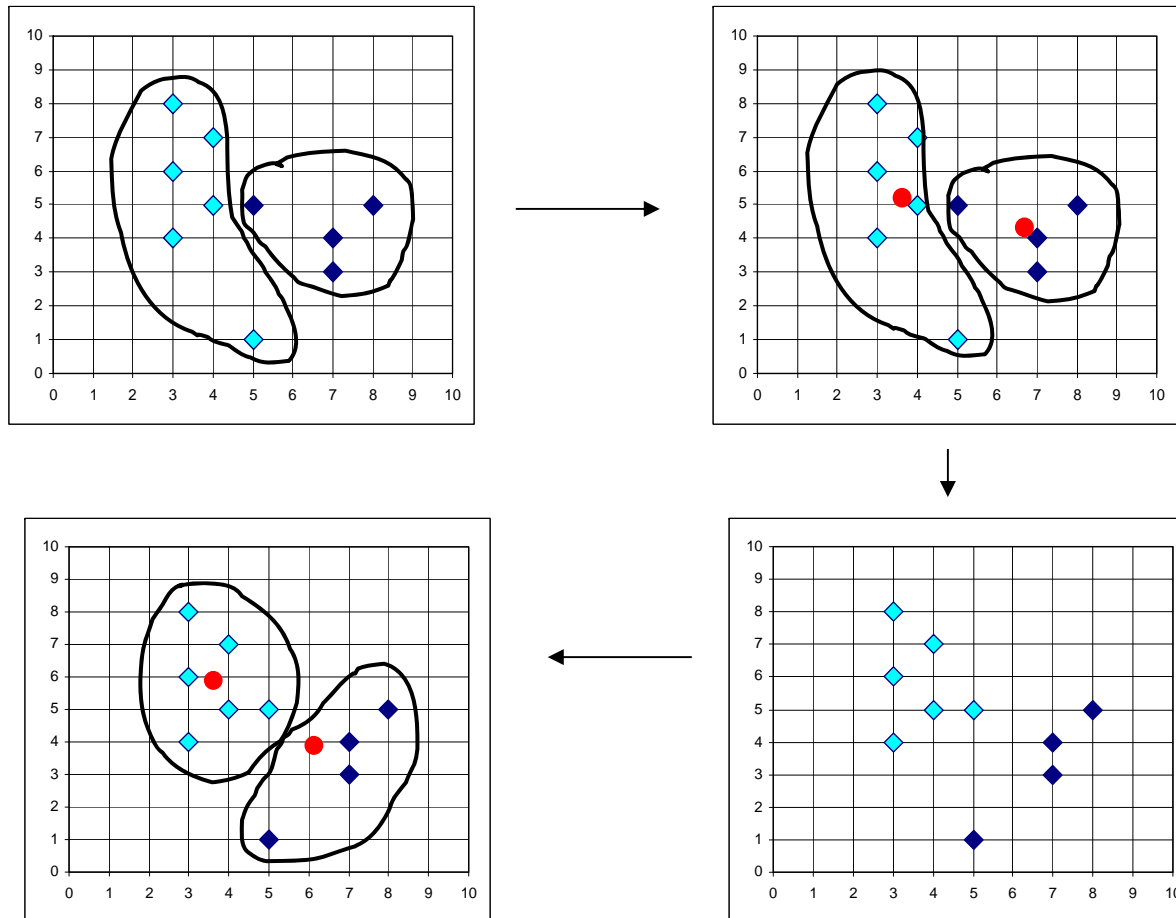
그림 5-5 컬러 영상 화소를 RGB 공간에 매핑



(b) 3차원 공간에 매핑한 결과

5.2.2 군집화를 이용한 영역 분할

■ K-means clustering



5.2.2 군집화를 이용한 영역 분할

알고리즘 5-2 k -means를 이용한 컬러 영상 분할

입력 : 컬러 영상 $f_r(j, i)$, $f_g(j, i)$, $f_b(j, i)$, $0 \leq j \leq M-1$, $0 \leq i \leq N-1$, k (군집의 개수)

출력 : $[1, 2, 3, \dots, k]$ 로 번호가 매겨진 영상

```
1  화소를  $\mathbf{x}_i = (r_i, g_i, b_i)$  형태로 변환하여 샘플 집합  $X = \{\mathbf{x}_1, \mathbf{x}_2, \dots, \mathbf{x}_n\}$ 을 구성한다. //  $n = MN$ 
2
3  // 4~9행은  $k$ -means 군집화
4   $k$ 개의 군집 중심  $Z = \{\mathbf{z}_1, \mathbf{z}_2, \dots, \mathbf{z}_k\}$ 를 초기화 한다.
5  while(TRUE) {
6      for( $i=1$  to  $n$ )  $\mathbf{x}_i$ 를 가장 가까운 군집 중심에 배정한다.
7      if(이 배정이 첫 배정이 아니고 이전 루프의 배정과 같음) break;
8      for( $j=1$  to  $k$ )  $\mathbf{z}_j$ 에 배정된 샘플의 평균으로  $\mathbf{z}_j$ 를 대체한다.
9  }
10
11 // 군집화 결과를 이용한 분할
12 for( $j=1$  to  $k$ )  $\mathbf{z}_j$ 에 배정된 샘플(화소)을  $j$ 로 번호를 매긴다.
```

5.2.2 군집화를 이용한 영역 분할

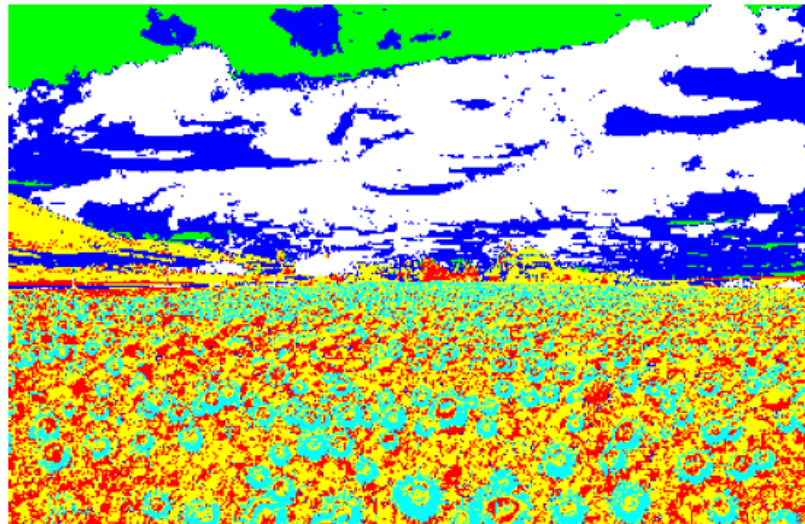


그림 5-6 k-means 군집화로 분할한 결과

← 자연 영상에서 낮은 성능
5.4절은 진보한 군집화 알고리즘인
민시프트 사용

5.2.3 분할합병

■ 원리

- 영역의 균일성을 측정하는 $Q(r_i)$ 를 이용하여 분할과 합병을 반복
 - $Q(r_i)$ 이 거짓이면 r_i 를 네 개 영역으로 등분하고 재귀 반복
 - $Q(r_i \cup r_j)$ 가 참이면 r_i 와 r_j 를 합병
- 분할 결과는 4진 트리로 표현

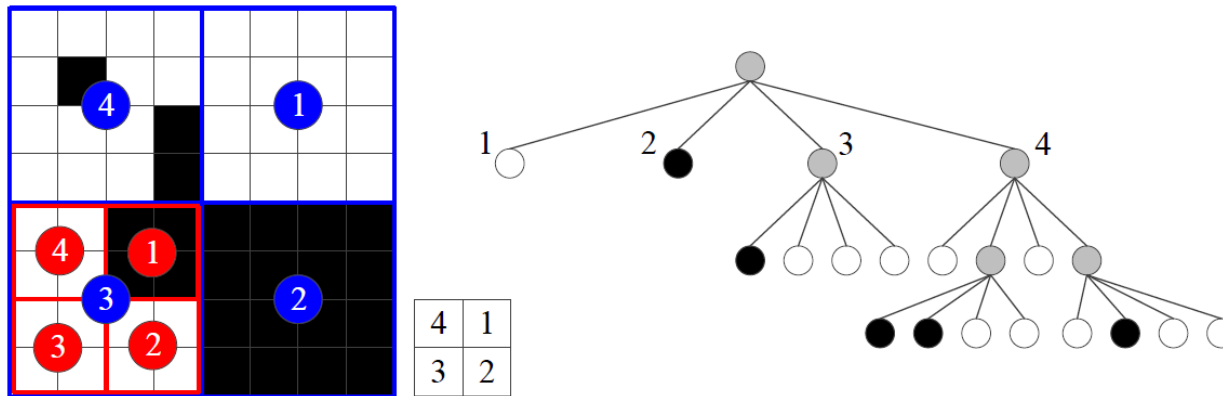


그림 5-7 4진 트리를 통한 영역 분할 결과

5.2.3 분할합병

알고리즘 5-3 분할합병을 적용한 영역 분할

입력 : 영상 $f(j,i)$, $0 \leq j \leq M-1$, $0 \leq i \leq N-1$, 임계값 s

출력 : 분할 결과를 표현하는 4진 트리

```
1  split(f); // 분할
2  while(TRUE) { // 합병
3      for(모든 이웃한 영역 쌍  $r_i$ 와  $r_j$ 에 대해)
4          if( $Q(r_i \cup r_j)$ )  $r_i$ 와  $r_j$ 를 합병하라.
5          3~4행에서 변화가 없으면 break;
6  }
7
8  function split(r){
9      if((not  $Q(r)$ ) and ( $r$ 의 넓이  $> s$ )) {
10          $r$ 을 네 개의 4분 영상  $r_i$ ,  $1 \leq i \leq 4$ 로 나눈다.
11         for( $i=1$  to 4)
12             split( $r_i$ );
13     }
14 }
```


5.3 그래프 방법

■ 그래프

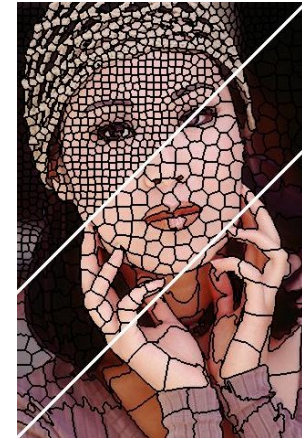
- $G=(V,E)$
- 노드 집합 $V=\{v_1, v_2, \dots, v_n\}$
 - 화소 또는 슈퍼 화소가 노드
- 에지 집합 E
 - 이웃 노드 간에 에지 설정
 - 두 노드 v_p 와 v_q 를 연결하는 에지는 가중치 w_{pq} 를 가짐
 - 가중치는 유사도(같은 정도) 또는 거리(다른 정도)로 측정

$$\text{거리 } d_{pq} = \begin{cases} |f(v_p) - f(v_q)|, & v_q \in \text{Neigh}(v_p) \\ \infty, & \text{그렇지 않으면} \end{cases}$$

$$\text{유사도 } s_{pq} = \begin{cases} e^{-d_{pq}}, & v_q \in \text{Neigh}(v_p) \\ 0, & \text{그렇지 않으면} \end{cases} \quad (5.5)$$

이때, $\|\mathbf{x}(v_q) - \mathbf{x}(v_p)\| \leq r$ 이면 $v_q \in \text{Neigh}(v_p)$

x: 화소의 위치



superpixel

5.3 그래프 방법

예제 5-1 영상의 그래프 표현

[그림 5-8(a)]는 10단계의 명암을 갖는 5×5 크기의 아주 간단한 영상을 보여준다. 그래프로 표현하기 위해 먼저 25개의 화소를 행 우선 순서에 따라 $v_0 \sim v_{24}$ 로 표기한다. 예를 들어 (1,2) 위치에 있는 화소는 노드 v_7 이 된다.

식 (5.5)에서 이웃을 규정하는 거리를 $r=1$ 로 설정하여 4-연결된 화소만 이웃이라고 가정하고, 에지의 가중치는 식 (5.5)의 맨 위에 있는 거리를 채택한다. 그래프를 인접 행렬로 표현하면 25×25 행렬이 되는데, 에지의 가중치 값을 계산하여 채우면 [그림 5-8(b)]와 같다.

	0	1	2	3	4		v_0	v_1	v_2	v_3	v_4	v_5	v_6	v_7	v_8	v_9	v_{10}	v_{11}	v_{12}	...	v_{23}	v_{24}	(이미지 내의 25개 화소)
0	v_0	v_1	v_2	v_3	v_4	v_0	0	4	-	-	0	-	-	-	-	-	-	-	-	-	-	-	-
1	v_5	v_6	v_7	v_8	v_9	v_1	4	0	5	-	-	1	-	-	-	-	-	-	-	-	-	-	-
2	v_2	-	5	0	0	-	-	7	-	-	-	-	-	-	-	-	-	-
3	v_3	-	-	0	0	0	-	-	6	-	-	-	-	-	-	-	-	-
4	v_4	-	-	-	0	0	-	-	-	1	-	-	-	-	-	-	-	-
...	v_5	0	-	-	-	0	3	-	-	-	1	-	-	-	-	-	-	-
...	v_6	-	1	-	-	3	0	3	-	-	2	-	-	-	-	-	-	-
...	v_7	-	-	7	-	-	3	0	1	-	-	2	-	-	-	-	-	-
...	\vdots
...	v_{24}	-	-	-	-	-	-	-	-	-	-	-	-	-	-	0	0	0

(a) 입력 영상(화소를 잇는 값(파란색)은 에지 가중치) (b) 인접 행렬 표현

그림 5-8 명암 영상의 그래프 표현

이 그래프는 대각선 방향으로 세 줄의 띠를 형성하는데, 유효한 값이 드문 희소행렬(sparse matrix)이다. 이웃의 범위를 규정하는 r 을 크게 하면 띠의 폭이 늘어난다. 예를 들어, 8-이웃을 채택하면 10이었던 띠의 폭이 30이 된다.

5.3 그래프 방법

■ 원리

에지 $w_{6,7}=3$, $w_{7,8}=1$. 따라서 $w_{6,7}$ 이 분할될 가능성이 높음

- 유사도가 높은 노드 쌍은 같은 영역(연결요소), 낮은 노드 쌍은 다른 영역에 배치
- 유사도 낮은 에지가 분할선이 될 가능성 높음
- '가능성이 높다'라는 표현의 중요성
 - 지역적으로 유사도 낮더라도 전역적 판단에서 자르지 말아야 한다면 분할선으로 취하지 않음 → 전역 최적해 추구

■ 전역 최적화 문제의 구현

- 1. 어떤 분할의 좋은 정도를 측정하는 목적 함수 → 분할 품질 관련
- 2. 목적 함수를 최대화/최소화하는 최적해를 찾는 효율적인 탐색 알고리즘 → 속도 관련
 - MST (최소 신장 트리)
 - 정규화 절단

5.3.2 정규화 절단

■ 유사도 그래프와 Wu의 분할 품질 척도

- 예) 거리가 d 일 때 $9-d$ 로 유사도 계산

v_0	v_1	v_2	v_3	v_4
3	-5	7	-4	2
-9	8	2	3	8
v_5	v_6	v_7	v_8	v_9
3	-6	6	-9	8
-8	7	7	5	9
v_{10}	v_{11}	v_{12}	v_{13}	v_{14}
2	-3	8	-8	7
-8	2	6	8	6
v_{15}	v_{16}	v_{17}	v_{18}	v_{19}
1	-9	1	-6	4
-8	8	6	5	6
v_{20}	v_{21}	v_{22}	v_{23}	v_{24}
2	-9	2	-8	1
-9	1	-9	1	-9

0	1	2	3	4	5	6	7	8	9	0	1	2	3	4	5	6	7	8	9
95	---	9	---	---	---	---	---	---	---	---	---	---	---	---	---	---	---	---	---
594	---	8	---	---	---	---	---	---	---	---	---	---	---	---	---	---	---	---	---
-499	---	2	---	---	---	---	---	---	---	---	---	---	---	---	---	---	---	---	---
-999	---	3	---	---	---	---	---	---	---	---	---	---	---	---	---	---	---	---	---
-99	---	8	---	---	---	---	---	---	---	---	---	---	---	---	---	---	---	---	---
9	---	96	---	8	---	---	---	---	---	---	---	---	---	---	---	---	---	---	---
-8	---	696	---	7	---	---	---	---	---	---	---	---	---	---	---	---	---	---	---
-2	---	698	---	7	---	---	---	---	---	---	---	---	---	---	---	---	---	---	---
-3	---	892	---	5	---	---	---	---	---	---	---	---	---	---	---	---	---	---	---
-8	---	29	---	9	---	---	---	---	---	---	---	---	---	---	---	---	---	---	---
-8	---	93	---	8	---	---	---	---	---	---	---	---	---	---	---	---	---	---	---
-7	---	398	---	2	---	---	---	---	---	---	---	---	---	---	---	---	---	---	---
-7	---	896	---	6	---	---	---	---	---	---	---	---	---	---	---	---	---	---	---
-5	---	696	---	8	---	---	---	---	---	---	---	---	---	---	---	---	---	---	---
-9	---	69	---	6	---	---	---	---	---	---	---	---	---	---	---	---	---	---	---
-8	---	99	---	8	---	---	---	---	---	---	---	---	---	---	---	---	---	---	---
-2	---	996	---	8	---	---	---	---	---	---	---	---	---	---	---	---	---	---	---
-6	---	698	---	6	---	---	---	---	---	---	---	---	---	---	---	---	---	---	---
-8	---	898	---	5	---	---	---	---	---	---	---	---	---	---	---	---	---	---	---
-6	---	89	---	6	---	---	---	---	---	---	---	---	---	---	---	---	---	---	---
-8	---	99	---	0	---	---	---	---	---	---	---	---	---	---	---	---	---	---	---
-8	---	998	---	1	---	---	---	---	---	---	---	---	---	---	---	---	---	---	---
-6	---	899	---	2	---	---	---	---	---	---	---	---	---	---	---	---	---	---	---
-5	---	999	---	3	---	---	---	---	---	---	---	---	---	---	---	---	---	---	---
-6	---	99	---	4	---	---	---	---	---	---	---	---	---	---	---	---	---	---	---

그림 5-11 유사도 그래프와 인접 행렬

- Wu의 척도 cut [Wu93]

$$cut(C_1, C_2) = \sum_{p \in C_1, q \in C_2} w_{pq} \quad (5.11)$$

값이 작을 수록 유리한 분할(유사도가 작으므로)

5.3.2 정규화 절단

■ Shi의 정규화 절단 [Shi2000]

■ cut 의 문제점

- 영역 크기에 대한 고려 없음

예) 분할 1의 cut 은 12, 분할 2는 7 → 하지만 직관적으로 분할 1이 우수

- 원래 연결요소를 작은 것과 큰 것으로 분할하는 경향
- 두 연결요소 간의 에지 개수가 적으므로 cut 이 작아짐

■ Shi는 정규화 절단 $ncut$ 으로 확장하여 문제 해결

Normalized cut

$$ncut(C_1, C_2) = \frac{cut(C_1, C_2)}{assoc(C_1, C)} + \frac{cut(C_1, C_2)}{assoc(C_2, C)} \quad (5.12)$$

이때 $assoc(C_i, C) = \sum_{p \in C_i, q \in C} w_{pq}, C = C_1 \cup C_2$

$assoc(C_i, C)$: 분할 요소 C_i 와 분할전 요소 C 사이의 가중치 값(영역 크기 고려)

- $ncut$ 이 최소가 되는 분할을 찾는 문제는 NP-complete → **스펙트럴 군집화**를 이용하여 근사해 구함

(Ref.) Luxburg'2007

(ex.) 앞의 경우

$$7/7 + 7/(8+6+6+7+\dots) = 1.xxx$$

$$12/큰값 + 12/큰값 = 0.xxxx$$

5.3.2 정규화 절단

■ 근사해 탐색 알고리즘

$$(\mathbf{D} - \mathbf{W})\mathbf{y}^T = \lambda \mathbf{D}\mathbf{y}^T \quad (5.13)$$

$$\begin{aligned} \mathbf{A}\mathbf{y}^T &= \lambda \mathbf{y}^T \\ \text{이때 } \mathbf{A} &= \mathbf{D}^{-\frac{1}{2}}(\mathbf{D} - \mathbf{W})\mathbf{D}^{-\frac{1}{2}} \end{aligned} \quad (5.14)$$

- \mathbf{W} 는 그림 5-11의 인접 행렬이고, \mathbf{D} 는 $d_{ii} = \sum_j w_{ij}$ 인 대각선 행렬

\mathbf{W} = 25x25 행렬
 \mathbf{D} 는 \mathbf{W} 로 구함

두번째 작은 고유값에 해당하는
고유 벡터가 최적 분할 정보 가짐

5.3.2 정규화 절단

■ 영상 분할

- 식 (5.14)의 고유값과 고유 벡터를 이용하여 영상 분할
- 실제로 쓰이는 유사도
 - 화소의 특징값(명암 또는 컬러)뿐 아니라 화소 사이의 거리도 같이 사용
 - 특징값이 비슷할수록 거리가 짧을수록 큼
 - 특징값이 크게 다르더라도 이웃이면 같은 영역이 된다거나 특징값이 비슷하더라도 멀면 다른 영역에 배정할 가능성 확보 ← 전역 최적화

$$s_{pq} = \begin{cases} e^{-\left(\frac{\|\mathbf{f}(v_p) - \mathbf{f}(v_q)\|^2}{\sigma_I} + \frac{\|\mathbf{x}(v_p) - \mathbf{x}(v_q)\|^2}{\sigma_X}\right)}, & \|\mathbf{x}(v_p) - \mathbf{x}(v_q)\| < r \text{ 이면} \\ 0, & \text{그렇지 않으면} \end{cases} \quad (5.15)$$

이때 $\mathbf{f}(v) = f(v)$ (명암 영상인 경우)

5.3.2 정규화 절단

■ 영상 분할 알고리즘

알고리즘 5-5 정규화 절단을 이용한 영상 분할

입력: 영상 $f(j, i)$, $0 \leq j \leq M-1$, $0 \leq i \leq N-1$

출력: 분할 결과 $S = \{C_1, C_2, \dots, C_p\}$ // C_i 는 연결요소

- 1 전체 노드 집합 V 를 하나의 연결요소 C 라고 한다.
- 2 C 의 유사도 행렬 W 를 계산한다.
- 3 식 (5.14)를 풀어, 고유값과 고유 벡터를 구한다.
- 4 두 번째 작은 고유값에 해당하는 고유 벡터를 이용하여 C 를 C_1 과 C_2 로 분할한다. (e.g.) Eigen vector의 부호에 따라 분할
- 5 C_1 과 C_2 각각에 대해 추가 분할이 필요한지 판단하고, 그렇다면 그것을 C 로 놓고 2~5행을 재귀적으로 반복한다.

5.3.2 정규화 절단

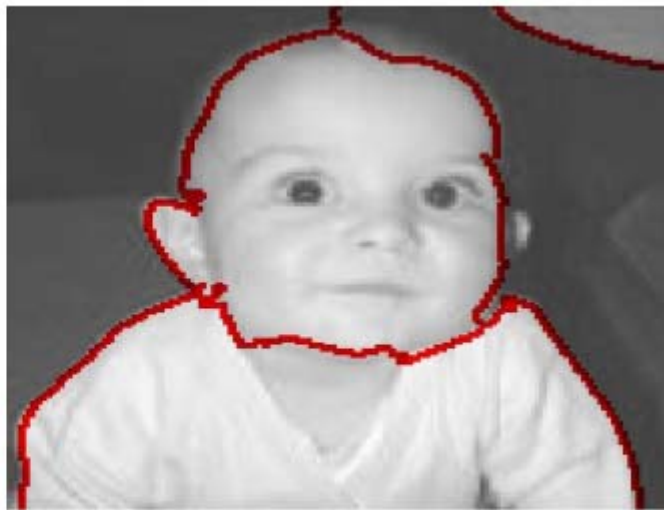


그림 5-12 정규화 절단을 적용한 영역 분할

논문 저자가 제공하는 Matlab 소스 코드를 <http://www.cis.upenn.edu/~jshi/software/>에서 받을 수 있다.

5.4 민시프트

■ 모드 탐색

- 샘플이 주어진 경우, 어떤 점이 속한 모드(봉우리)를 찾는 문제
- y 의 모드는?

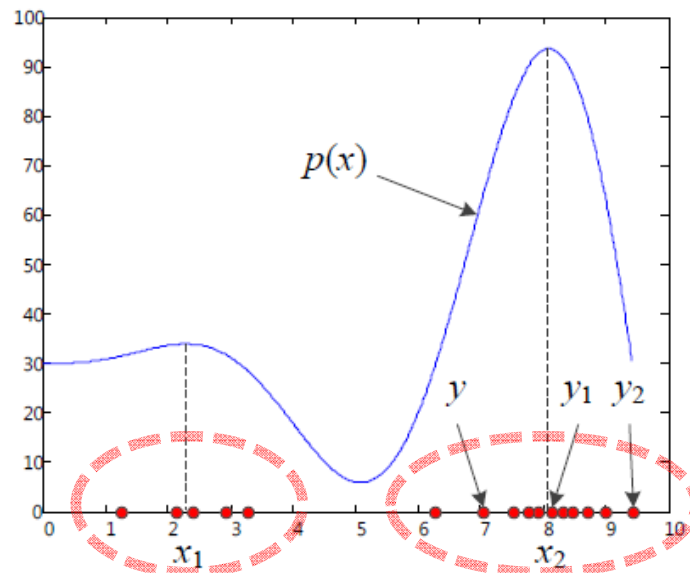


그림 5-13 모드 탐색

주어진 1차원 샘플을 2개의 주요 영역으로 분할 가능

→ 군집을 표현하는 확률을 추정

5.4.1 군집화

■ 파젠 창을 이용한 확률분포 추정

- h 는 커널의 폭 (클수록 많은 샘플이 창 안으로 들어와 매끄러운 함수가 생성됨)

$$p(\mathbf{x}) = \frac{1}{nh^d} \sum_{i=1}^n k\left(\frac{\mathbf{x} - \mathbf{x}_i}{h}\right) \quad \begin{array}{l} \text{위치 } \mathbf{x} \text{ 근방에 들어오는} \\ \text{샘플들의} \\ \text{합으로 } p(\mathbf{x}) \text{ 추정} \end{array} \quad (5.16) \quad (\text{Ref.) 패턴인식(오일석)})$$

$$\begin{aligned} \text{평편한 커널: } k(\mathbf{x}) &= \begin{cases} 1, & \|\mathbf{x}\| \leq 1 \\ 0, & \|\mathbf{x}\| > 1 \end{cases} \\ \text{가우시안 커널: } k(\mathbf{x}) &= \begin{cases} e^{-\|\mathbf{x}\|^2}, & \|\mathbf{x}\| \leq 1 \\ 0, & \|\mathbf{x}\| > 1 \end{cases} \end{aligned} \quad (5.17)$$

- 차원의 저주 발생
 - 차원이 커질수록 기하급수적으로 메모리와 계산 시간 증가
- 명시적으로 확률분포 추정하려는 시도는 수학적으로 그럴싸하지만 비현실적임

5.4.1 군집화

■ 민시프트

- 우회적으로 소속(모드)을 결정하는 기법
- \mathbf{y} 를 \mathbf{y}_0 로 놓고 시작하여, 수렴할 때까지 $\mathbf{y}_0 \rightarrow \mathbf{y}_1 \rightarrow \mathbf{y}_2 \rightarrow \dots$ 반복

$$\mathbf{y}_{t+1} = \frac{\sum_{i=1}^n \mathbf{x}_i k\left(\frac{\mathbf{x}_i - \mathbf{y}_t}{h}\right)}{\sum_{i=1}^n k\left(\frac{\mathbf{x}_i - \mathbf{y}_t}{h}\right)} \quad (5.18)$$

샘플들의 (정규화된) 가중 평균 값
가중치 $K(\cdot)$ 는 \mathbf{x}_i 와 중앙 값 \mathbf{y}_t 까지의 거리로 결정

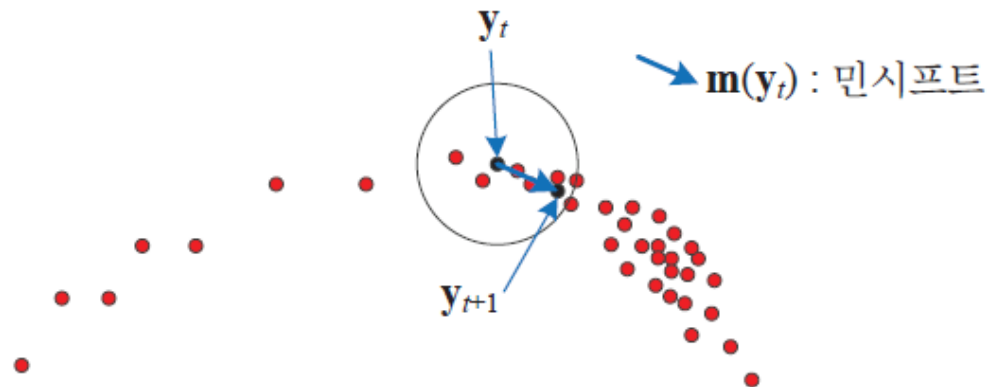


그림 5-14 현재 점 \mathbf{y}_t 를 민시프트 $m(\mathbf{y}_t)$ 가 \mathbf{y}_{t+1} 로 이동시킴

\mathbf{y}_t 를 중심으로 weighted average하면
새로운 중심 \mathbf{y}_{t+1} 이 나옴
(원 내에 속하는 화소들이 한쪽으로 쏠려 있으므로)

5.4.1 군집화

■ 바꾸어 쓰면,

$$\mathbf{y}_{t+1} = \mathbf{y}_t + \mathbf{m}(\mathbf{y}_t)$$

$$\text{이때 } \mathbf{m}(\mathbf{y}_t) = \mathbf{y}_{t+1} - \mathbf{y}_t$$

$$\begin{aligned} &= \frac{\sum_{i=1}^n \mathbf{x}_i k\left(\frac{\mathbf{x}_i - \mathbf{y}_t}{h}\right)}{\sum_{i=1}^n k\left(\frac{\mathbf{x}_i - \mathbf{y}_t}{h}\right)} - \mathbf{y}_t \\ &= \frac{\sum_{i=1}^n (\mathbf{x}_i - \mathbf{y}_t) k\left(\frac{\mathbf{x}_i - \mathbf{y}_t}{h}\right)}{\sum_{i=1}^n k\left(\frac{\mathbf{x}_i - \mathbf{y}_t}{h}\right)} \end{aligned} \quad (5.19)$$

■ 민시프트를 이용한 군집화 알고리즘

- 모든 점에 대해 식 (5.19)로 수렴점 찾은 후, 군집 배정
- 뛰어난 군집화 알고리즘
- 군집 개수 자동 결정, 임의 모양 군집, 설정할 매개변수 적음

5.4.1 군집화

알고리즘 5-6 민시프트를 이용한 군집화

입력 : 샘플 집합 $X=\{x_i|i=1,2,\dots,n\}$, ϵ (수렴 임계값)

출력 : k 개의 모드 z_j , $1 \leq j \leq k$, x_i 의 소속을 나타내는 $a(x_i)$, $1 \leq i \leq n$

```
1  for( $i=1$  to  $n$ ) {
2       $y_0=x_i$ ; // 초기점 설정
3       $t=0$ ;
4      while(TRUE) {
5          식 (5.19)를 이용하여  $y_{t+1}$ 을 계산한다.
6          if( $\|y_{t+1}-y_t\| \leq \epsilon$ ) break; // 수렴
7           $t++$ ;
8      }
9       $v_i=y_{t+1}$ ; //  $x_i$ 의 수렴점을 저장
10 }
11
12 // 군집화 단계
13  $v_i, i=1, 2, \dots, n$ 에서  $h$  이내에 있는 점들을 모아 군집화하고, 군집 중심을  $z_j, j=1, 2, \dots, k$ 라 한다.
14  $x_i, i=1, 2, \dots, n$ 이 속한 군집  $z_c$ 를 찾아  $a(x_i)=c$ 라 한다.
```

5.4.2 영상 분할과 스무딩

■ 민시프트를 영상 분할에 어떻게 적용할까? [Comaniciu2002]

- 영상 f 를 샘플 집합 X 로 변형
 - 화소가 샘플이 됨

■ 몇 차원으로 표현할 것인가?

- 컬러만 표현하면 2.2절의 k -means와 비슷한 결과 (그림 5-6)
- 컬러 $\mathbf{x}^r=(r,g,b)$ 와 화소의 위치 $\mathbf{x}^s=(y,x)$ 를 같이 표현 \rightarrow 5차원 벡터 $\mathbf{x}=(r,g,b,y,x)$
- \mathbf{x}^r 과 \mathbf{x}^s 의 스케일 차이를 고려하여 커널을 별도로 표현

$$k(\mathbf{x}) = k\left(\frac{\mathbf{x}^s}{h_s}\right)k\left(\frac{\mathbf{x}^r}{h_r}\right) \quad (5.20)$$

Comaniciu는 256x256크기의 이미지에 대해
 $h^s=8$ (17x17), $h^r=7$ (15x15x15)로 사용
 $X^r=(L, u, v)$ 로 사용

5.4.2 영상 분할과 스무딩

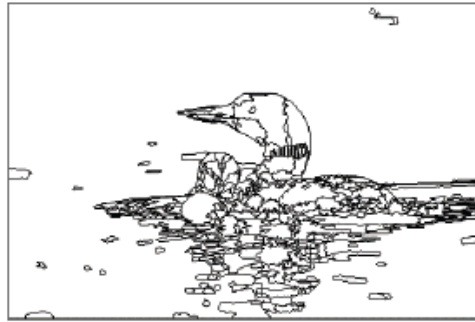
알고리즘 5-7 민시프트를 이용한 영상 분할

입력 : 컬러 영상 $f_r(j, i)$, $f_g(j, i)$, $f_b(j, i)$, $0 \leq j \leq M-1$, $0 \leq i \leq N-1$, min_area (이것보다 작은 영역 제거)

출력 : 분할 결과 $S = \{C_1, C_2, \dots, C_k\}$ // C_i 는 연결요소

```
1 // 전처리
2 컬러 공간을 RGB에서 Luv로 변환한다.
3 모든 화소를 5차원 공간  $x_i = (y_i, x_i, L_i, u_i, v_i)$ ,  $i = 1, 2, \dots, MN$ 으로 매핑한다.
4
5 // 모드 탐색
6 for( $i=1$  to  $MN$ ) {
7      $y_0 = x_i$ ; // 초기점 설정
8      $t=0$ ;
9     while(TRUE) {
10         식 (5.19)를 이용하여  $y_{t+1}$ 을 계산한다.
11         if( $\|y_{t+1} - y_i\| \leq \epsilon$ ) break; // 수렴
12          $t++$ ;
13     }
14      $v_i = y_{t+1}$ ; //  $x_i$ 의 수렴점 저장
15 }
16
17 // 후처리(수렴점을 모아 군집(영역) 구성, 작은 영역 제거)
18  $v_i$ ,  $i=1, 2, \dots, MN$ 에서 공간 좌표는  $h_s$ , 컬러 좌표는  $h_r$  거리 이내에 있는 점들을 모아 군집화하고, 군집 중심을  $z_j$ ,  $j=1, 2, \dots, k$ 라 한다.
19  $x_i$ ,  $i=1, 2, \dots, MN$ 가 속한 군집  $z_c$ 를 찾아,  $x_i$ 를 연결요소  $C_c$ 에 배정한다.
20 크기가  $min\_area$ 보다 작은 연결요소를 제거한다.
```


5.4.2 영상 분할과 스무딩



(a) 원래 영상

(b) 영역의 경계를 표시

(c) 영역의 평균 컬러로 표시된 분할 영상

그림 5-15 민시프트(EDISON)로 분할한 영상